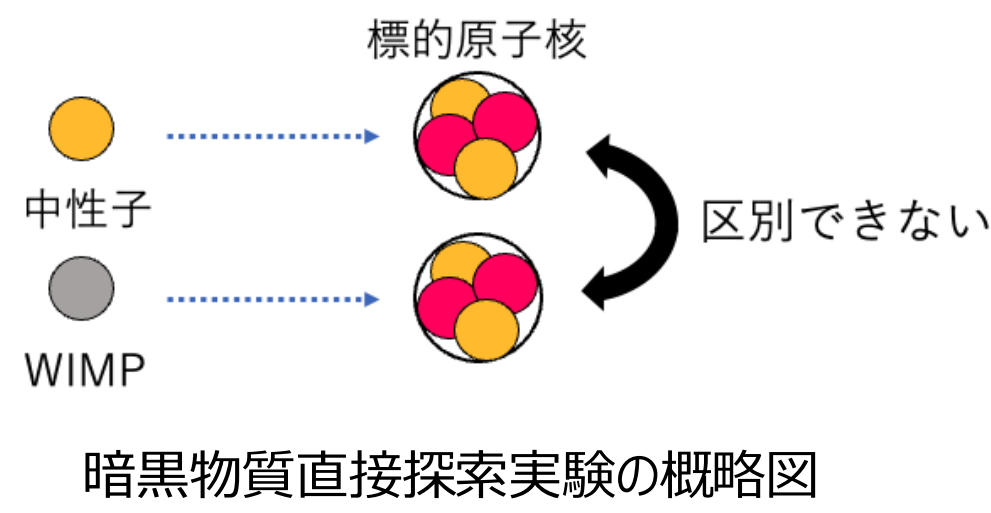


1. 環境中性子

a. 地下宇宙素粒子実験の背景事象(バックグラウンド)

- 暗黒物質直接探索実験
中性子がWIMPと同様に原子核反跳事象を起こす
0νββ崩壊探索実験
中性子捕獲などで探索エネルギー付近のγ線が放出される

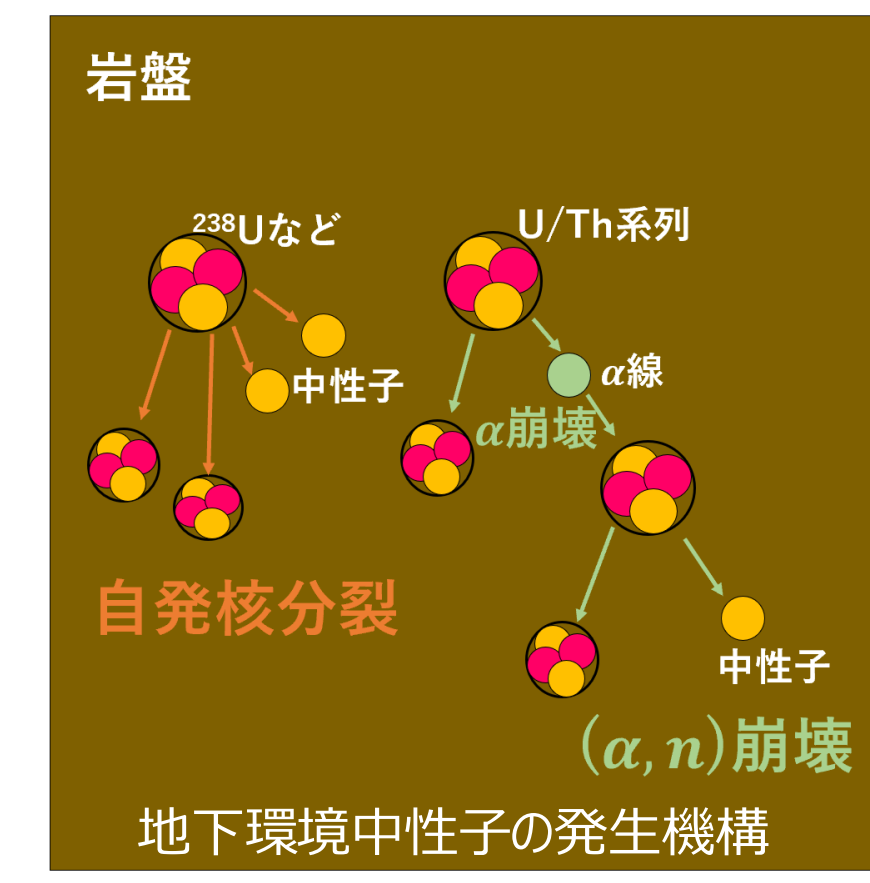


暗黒物質直接探索実験の概略図

地下実験室における環境中性子フラックスを正確に測定しバックグラウンドを定量

b. 環境中性子の発生源

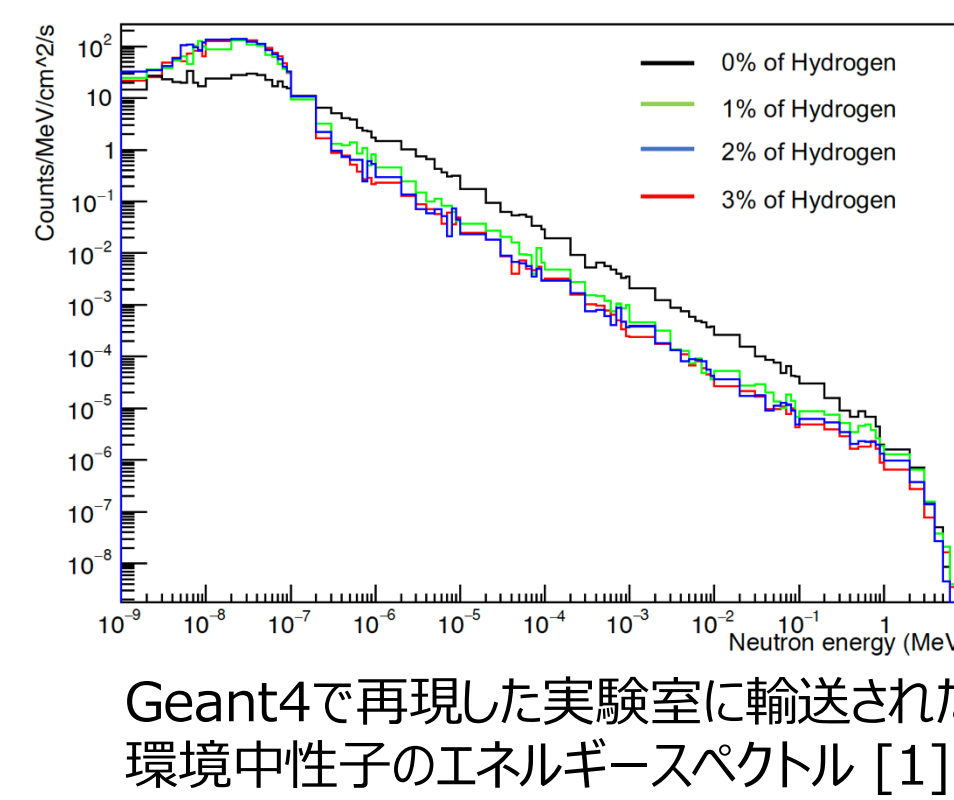
- 宇宙線由来 二次宇宙線のミュオンによる原子核破碎, etc.
→ 地下で低減
★ 岩盤由来 238Uなどの自発核分裂
放射性核種(主にU/Th系列)のα崩壊で生じたα線が岩盤内物質と起こす(α,n)崩壊



c. これまでの環境中性子測定

3He比例計数管とシミュレーションを用いた間接的な地下環境中性子スペクトルの測定

岩盤の化学組成と水素含有量(重量比で岩盤の0,1,2,3%)を仮定、球形の実験室を再現し、Geant4やNeuCBOTを用いて環境中性子スペクトルを算出



- 岩盤中の水素含有量が増加すると低エネルギー側のスペクトル形が変化した。
岩盤に含まれる水素が、岩盤内で生成された中性子が実験室に輸送される際の熱化(低エネルギー化)に関係することを示唆している。

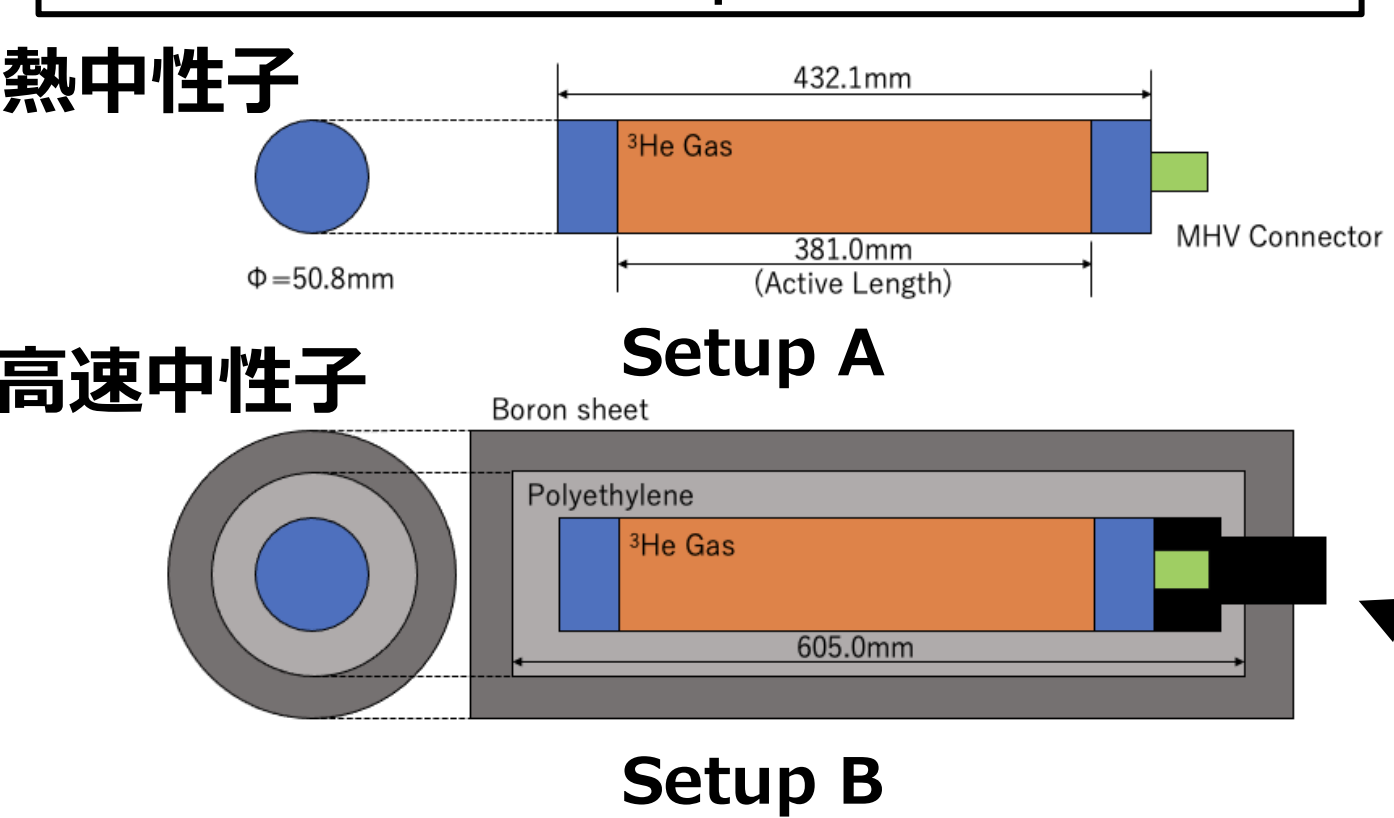
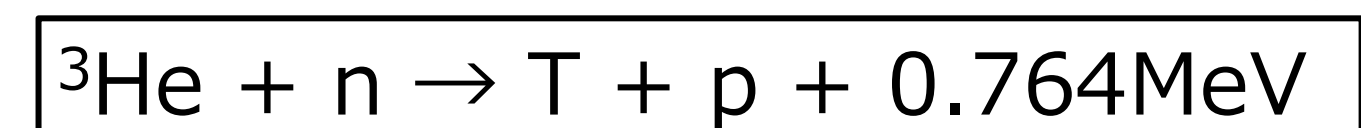
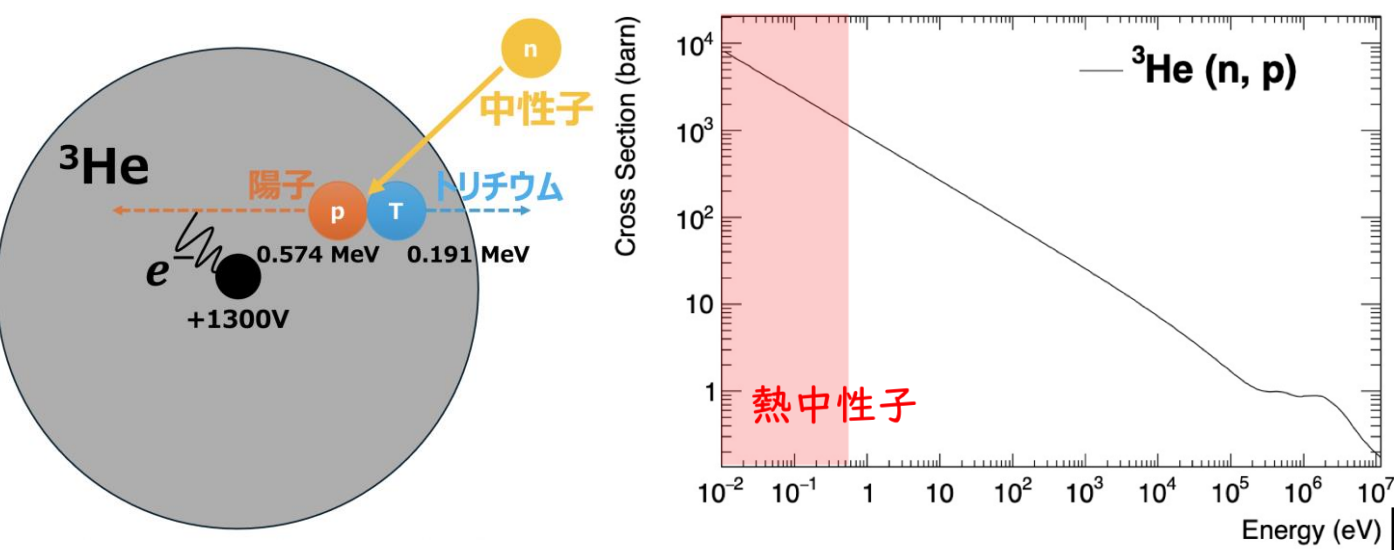
地下実験室の中性子フラックスは岩盤内の水分量で変化する
実際は降水量の変化や春の雪解けにより、神岡地下実験室周囲の岩盤の水素含有量は変化すると予測される

環境中性子の長期測定により
神岡地下実験室の岩盤内の水分量変化との相関を調査

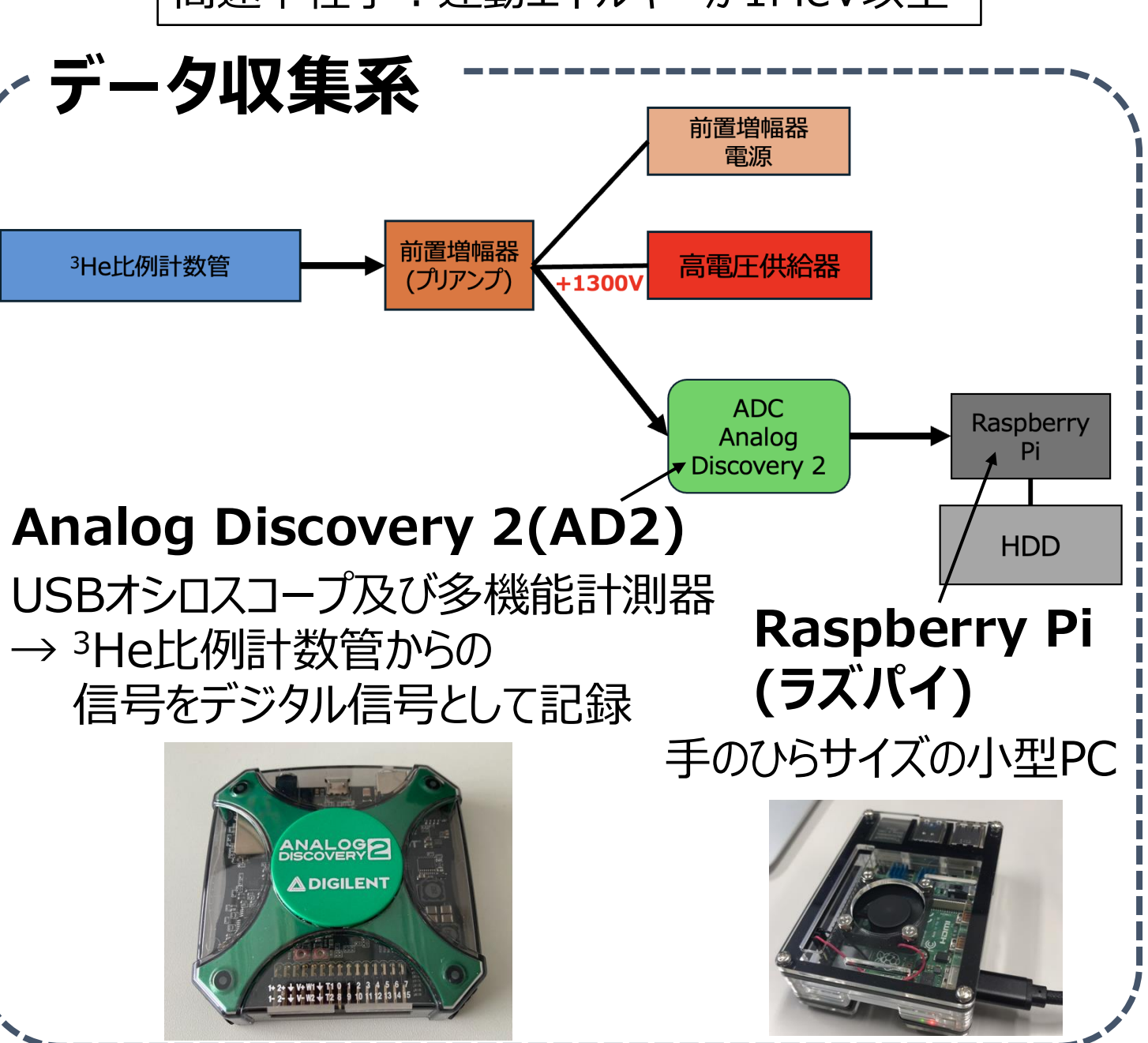
2. 測定系とデータ品質評価・改善

a. 3He比例計数管と測定セットアップ

ガス検出器の一種で熱中性子に高い感度を持つ



熱中性子: 運動エネルギーが0.5eV以下
高速中性子: 運動エネルギーが1MeV以上



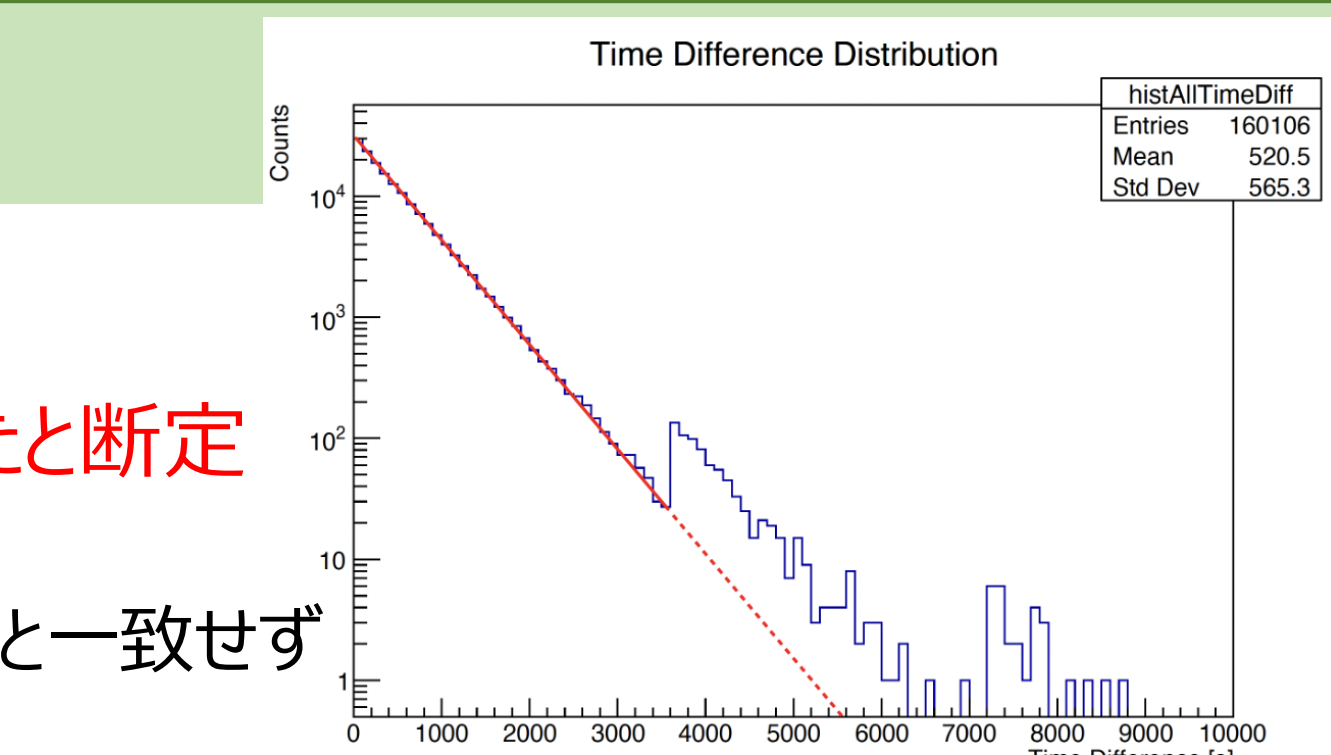
中性子減速材(6.5cm厚のポリエチレン)と熱中性子吸収剤(5mm厚のボロンシート)で包む

b. データ収集系の信頼性評価と改善

2021年から2024年までの測定にDAQフリーズがあったと断定

事象間時間差Δtが指数分布に従うかを調査
結果: SetupAで3600s以降、Bで7200s以降で指数減衰と一致せず

- データファイル切り替え条件
① 事象数が所定の上限に到達した場合(本研究では1000イベント)
② 一定時間信号が検出されずタイムアウトに達した場合(本研究ではSetupA:3600s SetupB:7200s)



2021/7/16~2024/8/7 SetupA 事象間時間差Δt分布
赤実線は指数関数によるフィット、赤点線はその外挿を示す

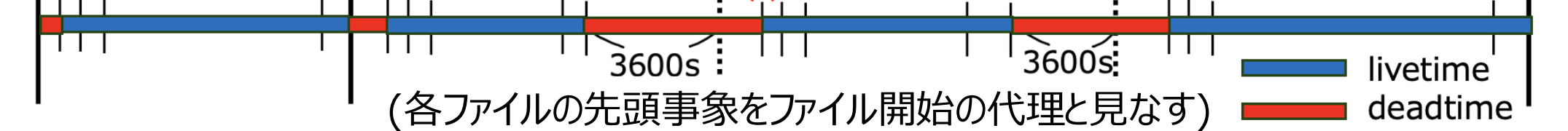
同一ファイル内のΔt分布は指数減衰とよく整合 → ファイル切り替え時にDAQフリーズがあった可能性が支持

ハード面の改良

- 高耐久SDカードに変更
冷却ファンを追加
高出力ACアダプターに変更

ソフト面の改善(livetime補正)

ファイル境界近傍の不透明な時間帯を保守的にdeadtimeとして除外し、同一ファイル内の健全な取得区間に基づくlivetimeを定義した



データ収集系の二重化
信号を分岐器で分け2つのADCで読みデータ損失リスクの低減を図った

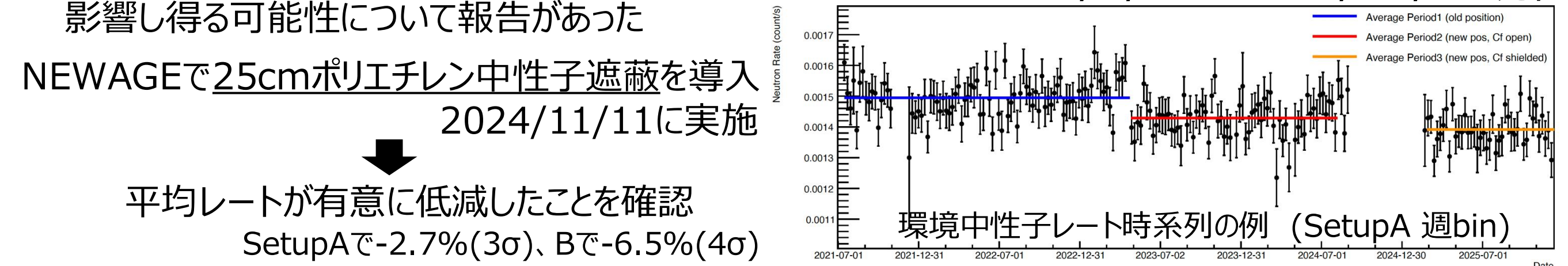
本研究で関心があるのは中性子レートの相対的な時間変動のため、この手法をデータ全期間に適用し同一規則で長期時系列を再構成

3. 中性子長期測定データの整理と時間変動

a. 測定期間と測定条件の変化



- ① 測定位置の変更 地点1→地点2
他実験グループの運用上の都合により
2023/4/25に実施
② 地下線源金庫内の中性子線源の影響
同じLab-BのNEWAGE実験のBG研究から、金庫内の252Cf中性子源が3He中性子測定へ影響し得る可能性について報告があった
NEWAGEで25cmポリエチレン中性子遮蔽を導入
2024/11/11に実施



平均レートが有意に低減したことを確認
SetupAで-2.7%(3σ)、Bで-6.5%(4σ)

b. 時間変動と季節性の評価

フィットモデルと評価指標

- Model 0 (定数) R(t) = C
Model 1 (定数+指数減衰) R(t) = C + Aexp(-λ(t-t0))
Model 2 (定数+年周期) R(t) = C + a cos ωt + b sin ωt

モデルの要否の検定(モデル比較)

単純なモデル(small, Model 0)とsmallを含むより複雑なモデル(large, Model 1 & Model 2)を比較
χ2フィットの改善量 Δχ2 = χ2small - χ2large で評価
Wilksの定理よりΔχ2は追加パラメータ数のχ2分布に従う
観測Δχ2以上の改善が統計ゆらぎだけで起こる確率p値:
p = P(χ2Δ ≥ Δχ2) 慣習的な有意水準 p < 0.05 で追加モデルを議論

period別のフィット結果 (Model 0 vs 1)

Table with columns: period, Series, bin, N, χ2/dof, p(M0→1), Aexp, ZA

- SetupA, B, いずれのperiodでもperiod内の中性子レートは定数モデル(Model 0)で記述できる。
252Cf半減期の指数減衰成分(Model 1)を統計的に要請する根拠は得られない。

period合成時系列のフィット結果 (Model 0 vs 2)

Table with columns: Series, bin, N, χ2/dof, p(M0→2), Zamp, fseason

- SetupA, Bどちらも定数モデル(Model 0)が妥当。
年周期(Model 2)も統計的に有意でなく、相対寄与も上限がSetupAでfseason < 1%、SetupBでも~2%に留まる。
環境中性子レート長期時系列は全体として定常強い季節変動も支持されなかった

4. 環境要因との相関解析

a. 解析に用いたパラメータ

岩盤への水分の輸送過程に伴う時間遅れを考慮し、時間シフトΔに対する相関を|x(t)とR(t + Δ)の対応で評価

- ① 雨量 P (KAGRA雨量計 跡津, 茂住) Δ: 0~90days
降水が岩盤への浸透・貯留を経て含水量の増加へ
※冬季は融雪能力不足で雨量が過少評価されるため、毎年12/16~3/15を除外
② 排水量 Q (KAGRA Y-arm流量計) Δ: 90~90days
地下水応答としての観測量 地下側情報を含むと期待
※春は雪解けで水面が荒れ計測が不安定になるため、毎年4,5月を除外
③ 絶対湿度 H (Lab-B内 Rn Monitoring System)
坑内空気水分中の中性子熱化への寄与 Δ: 0~10days



RA → 正, RB → 負の相関と予想
(雨量と排水量については熱化まで一定のタイムラグがあると想定)

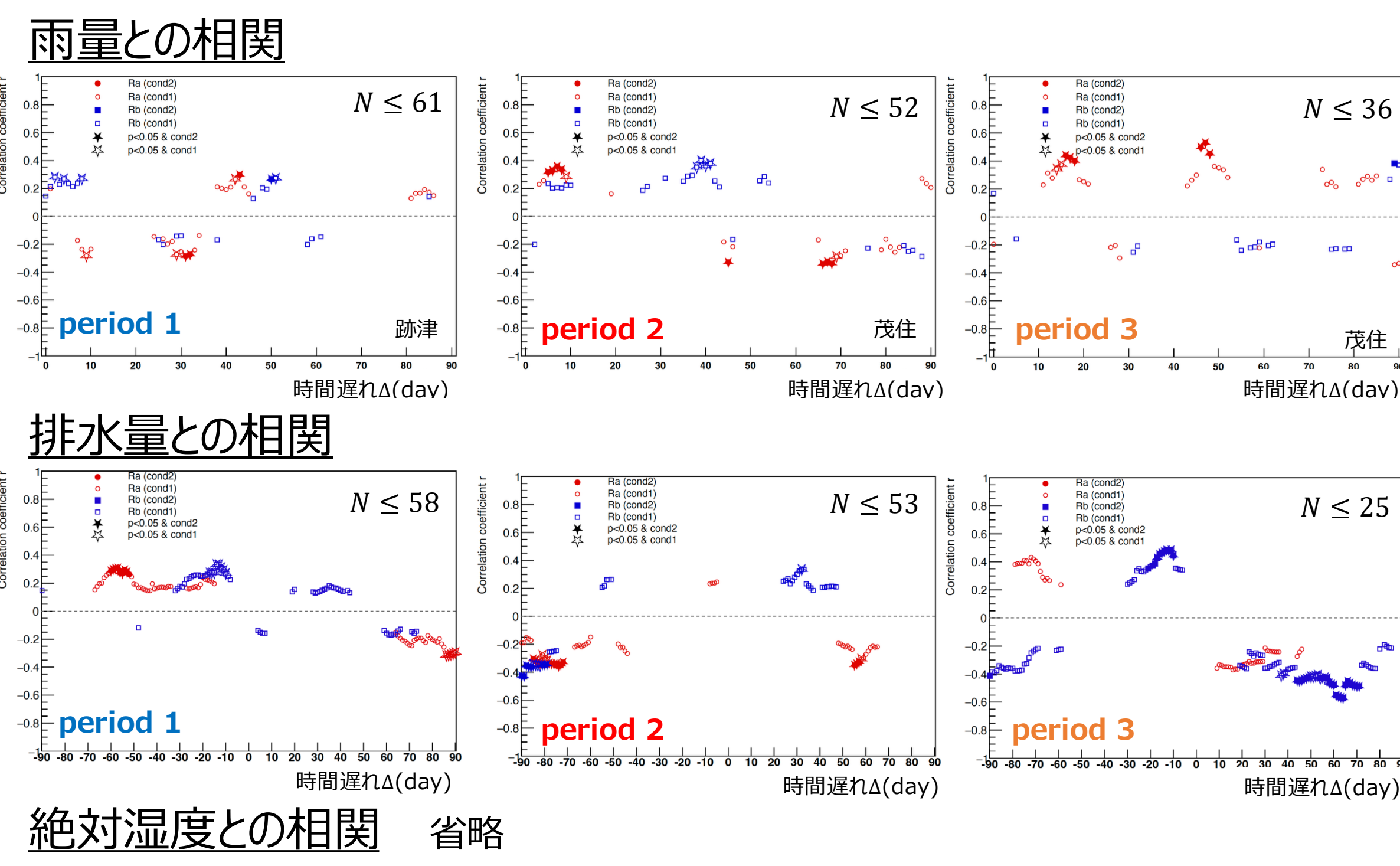
b. 相関解析手法

以下のモンテカルロシミュレーションで相関係数rの頑健性と有意性を検定

- Measurement-error MC
No-correlation toy MC
1. 環境パラメータxiは固定、各binの中性子レートyiを正規分布N(yi, σyi)から再サンプリング
2. その相関係数 rMC(Δ) を10000個計算
3. rMCの分布から実際に得られたrdataと符号が一致する確率Psignを計算

- 頑健性・有意性判定の条件
cond1: Psign(Δ) > 0.84 (片側1σ)
cond2: Psign(Δ) > 0.975 (片側2σ)
cond3: p(Δ) < 0.05 (有意水準5%)

c. 環境パラメータとの相関結果



5. まとめ

- 3He比例計数管2台で神岡地下実験室Lab-Bにおける環境中性子を長期測定 (2021-)
DAQ二重化など+保守的livetime補正 → 長期解析用レート時系列を整備
中性子レートの時間変動は確認されず、環境要因との相関を示す強い証拠も得られなかった

6. 参考文献

[1] 佐々木 優斗, 地下実験施設における環境中性子測定, 横浜国立大学 大学院理工学部 修士論文, 2021
[2] Glenn F. Knoll. Radiation Detection and Measurement. 4th ed., Wiley, 2010, 864p.
[3] KAGRA大型低重力波望遠鏡. 図2. 2014. https://gwcenter.icrr.u-tokyo.ac.jp/archives/1858/%e5%9b%b32